

مطالعه آلل‌های ناسازگاری برخی ژنوتیپ‌های گلابی آسیایی (*Pyrus serotina* Rehd.) به کمک
PCR روش

Study of Incompatibility S Alleles in some Asian Pear
(*Pyrus serotina* Rehd.) Genotypes by PCR Technique

محمود کوشش صبا^۱، کاظم ارزانی^۲ و مختار جلالی جواران^۲

۱- دانشجوی سابق دکتری علوم باگبانی، دانشکده کشاورزی دانشگاه تربیت مدرس، تهران
۲- به ترتیب دانشیار و استادیار، دانشکده کشاورزی دانشگاه تربیت مدرس، تهران

تاریخ دریافت: ۱۳۸۵/۷/۵ تاریخ پذیرش: ۱۳۸۶/۱۰/۲۷

چکیده

کوشش صبا، م.، ارزانی، ک.، و جلالی جواران، م. ۱۳۸۷. مطالعه آلل‌های ناسازگاری برخی ژنوتیپ‌های گلابی آسیایی (*Pyrus serotina* Rehd.) به کمک روش PCR. نهال و بذر ۴۵-۴۶: ۲۴.

یکی از عوامل ژنتیکی مهم که میوه‌دهی گلابی آسیایی را تحت تاثیر قرار می‌دهد ناسازگاری گردد است. به منظور بررسی آلل‌های ناسازگاری در تعدادی از ژنوتیپ‌های گلابی آسیایی، این آزمایش انجام شد. برای این منظور دی.ان.ای (DNA) ژنومی نه ژنوتیپ گلابی آسیایی (KS₆, KS₉, KS₈, KS₇, KS₁₀, KS₁₁, KS₁₂, KS₁₃ و KS₁₄) و دو هیبرید بین آن‌ها از برگ‌های جوان جداسازی شد و از آن‌ها با استفاده از آغازگرهای اختصاصی، جهت تکثیر آلل‌های ناسازگاری استفاده شد. نتایج نشان داد که آغازگرهای مورد نظر توانستند آلل‌های ناسازگاری را در ژنوتیپ‌های مورد مطالعه تکثیر کنند. آلل‌های ناسازگاری ژنوتیپ‌های KS₆, KS₉, KS₈, KS₇, KS₁₀, KS₁₁, KS₁₂ و KS₁₃ یک جفت از آلل‌های S₇ تا S₃ یا S₁ بودند و یک آلل ناسازگاری ژنوتیپ‌های KS₁₄ و آلل دیگر آن S₁ تا S₃ تعیین شد. روش PCR برای تعیین وضعیت ناسازگاری سریع‌تر و راحت‌تر از سایر روش‌ها است که تحت تاثیر عوامل مرتبط با گردد افشاری قرار نمی‌گیرد.

کلمات کلیدی: گلابی آسیایی، *Pyrus serotina* Rehd. ناسازگاری گردد، نشانگر مولکولی، آلل‌های ناسازگاری.

مقدمه

(De Nettancourt, 1997). بیان و ظهور ناسازگاری در گلابی آسیایی نه تنها با شرایط محیطی بلکه به حالت‌های فیزیولوژیک گیاه بستگی دارد (Hiratsuka and Zhang, 2002). تفاوت ارقام گلابی در میوه‌دهی بعد از خود گرده‌افشانی به وسیله محققین زیادی گزارش شده است. برای تعیین خودناسازگاری و دگرنسازگاری روش‌های مختلفی وجود دارد، از جمله این روش‌ها می‌توان به ارزیابی تعداد میوه تشکیل شده، بررسی رشد لوله گرده در تخدمان (Koushesh Saba *et al.*, 2006) و روش‌های مولکولی مانند شناسایی آلل‌های مربوط به ناسازگاری (Sassa *et al.*, 1994; Ishimizu *et al.*, 1999) و روش‌های بیوشیمیایی مانند تجزیه گلیکوپروتئین‌های خامه (SRNase) (Tomimoto *et al.*, 1996)؛ اشاره کرد (Zuccherelli *et al.*, 2002). شناسایی آلل‌های S بسیار مفید بوده و یک روش مفید را برای انتخاب صحیح گردددهنده و ژنوتیپ‌های مادری در برنامه اصلاحی فراهم آورده است. این روش در مشخص کردن شجره‌نامه و منشأ بعضی ژنوتیپ‌های نیز مفید است (Tehrani and Lay, 1988). آلل‌های S و گروه‌های ناسازگاری تعدادی از درختان میوه مانند گیلاس (Wiersma *et al.*, 2001)، بادام (Tamura *et al.*, 2000) و گلابی آسیایی (Janssens *et al.*, 1995)

(*Pyrus serotina* Rehd.) بخش مهمی از گلابی‌های دنیا را تشکیل می‌دهد (Nee *et al.*, 2002) از نام‌های متداول آن گلابی چینی و ژاپنی است. گلابی‌های آسیایی باردهی خوبی دارند و میوه‌های آن دارای بافت ترد و سفت است و عمر ابشاری بالایی دارند. میوه‌های آن آبدار هستند و رنگ پوست از زرد تا قرمز متمایل به قهوه‌ای در آن‌ها دیده می‌شود (Arzani, 2002). به خاطر این خصوصیات امروزه در دنیا به این محصول توجه زیادی می‌شود و تقاضا برای این میوه، رو به افزایش است. در ایران با توجه به توانائی‌های موجود در بخش میوه‌کاری، به منظور ارزیابی بعضی ژنوتیپ‌های گلابی آسیایی در شرایط مختلف آب و هوایی ایران، در قالب طرح ملی گلابی، چند رقم از کشور بلژیک وارد ایران شده و آزمایش‌هایی روی آنها در حال انجام است (Arzani, 2002).

میوه‌دهی گلابی تحت تاثیر عوامل ژنتیکی و محیطی قرار دارد. یک عامل ژنتیکی مهم، خودناسازگاری است که در آن درخت قادر به باروری با گرده خود نمی‌باشد (Haring *et al.*, 1990). ناسازگاری در تیره گل سرخ هومومorfیک و از نوع گامتوفیتیک است و به وسیله یک مکان ژنی چند آللی کنترل می‌شود. مکان ژنی کنترل کننده ناسازگاری (S) خودناسازگاری و دگر ناسازگاری را کنترل می‌کند.

پدری و هیرید ۲ حاصل تلاقی ژنتیپ‌های KS₁₃ به عنوان پایه مادری و KS₁₁ به عنوان پایه پدری بود. به منظور استخراج دی.ان.ای (DNA) ژنومی از رقم‌های مذکور، نمونه‌هایی از برگ‌های جوان آن‌ها تهیه و در کمترین زمان ممکن به آزمایشگاه منتقل شد و بلاfacسله با نیتروژن مایع منجمد شدند. با توجه به این که برگ‌های گلابی دارای مقادیر زیادی پلی ساکارید و مواد فنلی هستند، برای استخراج دی.ان.ای مطلوب از روش CTAB (Doyle and Doyle, 1990) با کمی تغییرات استفاده شد و کیفیت و کمیت دی.ان.ای استخراجی با روش الکتروفورز در ژل آگارز و دستگاه اسپکتروفتومتر بررسی شد. برای بررسی آلل‌های ناسازگاری، روش مولکولی پی.سی.آر با استفاده از آغازگرهای اختصاصی طراحی شده برای آلل‌های ناسازگاری به کار گرفته شد. انتخاب آغازگرهای ناسازگاری با استفاده از مطالعه روی توالی‌های گزارش شده برای آلل‌های ناسازگاری در منابع و بانک ژن (pubmed.com) و نیز آغازگرهایی که تاکنون در موارد مشابه به کار برده شده (Castillo *et al.*, 2002; Kim *et al.*, 2002) و کنترل صحت توالی آن‌ها با نرم افزار Gene runner جفت آغازگر اختصاصی زیر جهت تکثیر آلل‌های ناسازگاری مورد استفاده قرار گرفت (در هر کدام از جفت پرایمرهای اشاره شده، پرایمر اول پیش رو و

Ishimizu *et al.*, 1999) و زردآللو (Burgos *et al.*, 1998) تلاقی و اخیراً با استفاده از روش‌های مولکولی گزارش شده است. مزیت روش‌های مولکولی مبتنی بر واکنش زنجیره‌ای پلی‌مراز (Polymerase chain reaction: PCR) در آن است که به درخت بالغ و گل برای تعیین ناسازگاری نیازی نیست و با مقدار کمی از بافت گیاهی می‌توان آلل‌های ناسازگاری را در ژنتیپ مورد مطالعه تعیین کرد.

امروزه در دنیا در بخش میوه‌کاری تحقیق روی پایین آوردن هزینه تولید است. با توجه به این که ارقام خودناسازگار برای تولید مطلوب نیاز به دگرگرده افزایی دارند، عدم اطلاع از این موضوع و کشت باغ از یک رقم باعث میوه‌دهی ضعیف می‌شود. پژوهش حاضر به منظور بررسی و تعیین آلل‌های ناسازگاری بر روی بعضی از ارقام گلابی آسیایی انجام شد.

مواد و روش‌ها

این آزمایش در دانشکده کشاورزی و آزمایشگاه گروه بیوتکنولوژی دانشگاه تربیت مدرس انجام شد. در این پژوهش از پایه‌های مادری گلابی آسیایی که در سال ۱۹۹۸ توسط گروه باستانی دانشگاه تربیت مدرس (طرح ملی شماره ۴۲۲۵) از کشور بلژیک وارد کشور شد (Arzani, 2002) و دو رقم هیرید بین آن‌ها استفاده شد. هیرید ۱ حاصل تلاقی ژنتیپ‌های KS₁₃ به عنوان پایه مادری و KS₈ به عنوان پایه

با دستگاه ژل داک و با استفاده از نور ماوراء
بنفس انجام شد.
نتایج و بحث

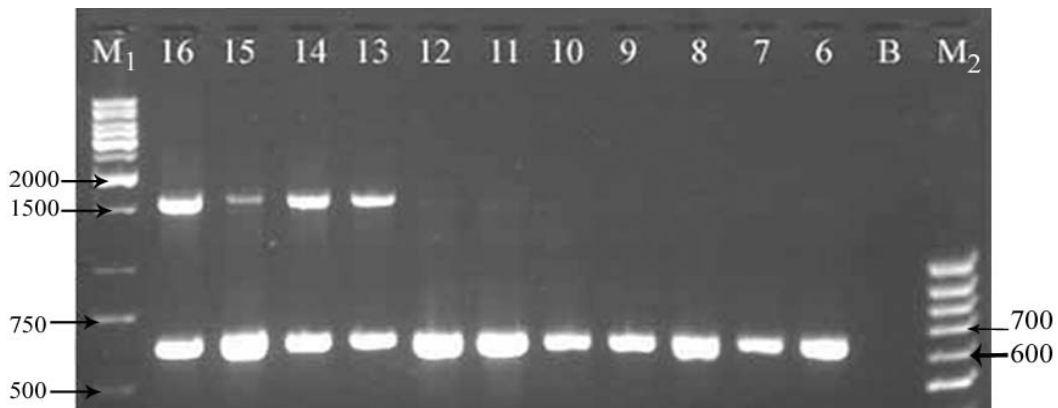
در آزمایش اول از آغازگر A به عنوان پیش رو و از آغازگر B به عنوان معکوس استفاده شد. این جفت آغازگرها توانستند ژن خودناسازگاری تمامی ژنوتیپ های گلابی آسیایی مورد مطالعه را تکثیر کنند (شکل ۱). در ژنوتیپ های KS6، KS7، KS8، KS9، KS10، KS11 و KS12 قطعه ای بین ۷۰۰-۶۰۰ جفت باز و در ارقام KS13، KS14، هیبرید ۱ و هیبرید ۲ علاوه بر قطعه اول، قطعه دیگر با اندازه ۱۶۰۰ جفت باز تشکیل شد (شکل ۱ و جدول ۱).

جفت آغازگر C به عنوان پیش رو و D به عنوان معکوس آلل های ناسازگاری را در ژنوتیپ های گلابی مورد مطالعه تکثیر کردند (شکل ۲). در ارقام KS6، KS7، KS9، KS10، KS11 و KS12 قطعه ای بین ۳۰۰-۴۰۰ جفت باز در KS8 دو قطعه بسیار نزدیک به هم بین ۴۰۰-۳۰۰ جفت باز و در ژنوتیپ های KS13، KS14، هیبرید ۱ و هیبرید ۲ هر کدام دو قطعه یکی بین ۱۳۰۰-۳۰۰ جفت باز و قطعه دیگر با اندازه ۴۰۰-۳۰۰ جفت باز تکثیر شد (شکل ۲ و جدول ۱).

با استفاده از جفت آغازگر E به عنوان پیش رو و F به عنوان معکوس در ژنوتیپ های KS6، KS7، KS8، KS9، KS10، KS11 و KS12 قطعه ای بین ۵۰۰-۴۰۰ جفت باز و در ژنوتیپ های KS13، KS14، هیبرید ۱ و هیبرید ۲

دو می معکوس است).

A: 5'-CAATTACGCAGCAATATCAG-3':
B: 5'-CTTTGGCACTTGAATTGG-3':
C: 5'-TTTACGCAGCAATATCAG-3':
D: 5'-ACATTGGCCAAATAATT-3':
E: 5'-TGCCTCGCTCTGAACAAA-3':
F: 5'-ACATTGGCCAAATAATT-3':
واکنش زنجیره ای پلی مراز در حجم ۲۵ میکرولیتر با اجزای ۲/۵ میکرولیتر بافر ۱۰ برابر، ۱/۵ میلی مولار کلرید منزیوم، ۱/۵ میلی مولار مخلوط نوکلئوتیدی، ۰/۵ میکرومولار آغازگر، ۱۰ نانو گرم دی.ان.ای الگو، ۰/۲ میکرولیتر آنزیم تک دی.ان.ای پلی مراز ۵ واحدی و آب مقطر انجام شد. برای جلوگیری از تکثیر غیر اختصاصی علاوه بر آلل های موردنظر، دماهای اتصال مختلف مورد استفاده قرار گرفت و در نهایت برنامه تکثیر شامل و اسرشته سازی اولیه دی.ان.ای ژنومی در ۹۴ درجه سانتی گراد به مدت ۵ دقیقه و سپس ۳۰ چرخه شامل و اسرشته سازی دی.ان.ای ژنومی در ۹۴ درجه سانتی گراد به مدت ۱ دقیقه، اتصال آغازگر به رشته الگو در ۵۵/۵ درجه سانتی گراد به مدت ۱/۵ دقیقه، بسط در ۷۲ درجه سانتی گراد به مدت ۲ دقیقه و بسط نهایی در ۷۲ درجه سانتی گراد به مدت ۵ دقیقه به کار گرفته شد. محصولات تکثیری با استفاده از ژل آگارز ۲ درصد الکتروفورز گردید. برای رنگ آمیزی ژل از محلول اتیدیوم بروماید استفاده شد و مشاهده ژل و عکس برداری از آن



شکل ۱- الگوی نواری آلل های ناسازگاری ژنوتیپ های گلابی آسیایی مورد مطالعه با استفاده از جفت آغازگر A و B

M1- کنترل منفی، 6- KS₆ ، KS₇-7 ، KS₈-8 ، KS₉-9 ، KS₁₀-10 ، KS₁₁-11 ، KS₁₂-12 ، KS₁₃-13 ، KS₁₄-14 ، KS₁₅-15 ، KS₁₆-16 - هیرید 1 و - هیرید 2 - نشانگر وزن ملکولی نسبتاً سبک، M2- نشانگر وزن مولکولی نسبتاً سنگین،

Fig. 1. Incompatibility alleles banding pattern of studied Asian pear cultivars using A and B primer pair

M1- High range molecular marker, M2- Low range molecular markers, B-Negative control, 6- KS₆ , 7- KS₇ , 8- KS₈ , 9- KS₉ , 10- KS₁₀ , 11- KS₁₁ , 12- KS₁₂ , 13- KS₁₃ , 14- KS₁₄ , 15- Hybrid 1 and 16- Hybrid 2



شکل ۲- الگوی نواری آلل های ناسازگاری ژنوتیپ های گلابی آسیایی مورد مطالعه با استفاده از جفت آغازگر C و D

M1- کنترل منفی، 6- KS₆ ، KS₇-7 ، KS₈-8 ، KS₉-9 ، KS₁₀-10 ، KS₁₁-11 ، KS₁₂-12 ، KS₁₃-13 ، KS₁₄-14 ، KS₁₅-15 ، KS₁₆-16 - هیرید 1 و - هیرید 2 - نشانگر وزن ملکولی نسبتاً سبک، M2- نشانگر وزن مولکولی نسبتاً سنگین،

Fig. 2. Incompatibility alleles banding pattern of studied Asian pear cultivars using C and D primer pair

M1- High range molecular marker, M2- Low range molecular markers, B-Negative control, 6- KS₆ , 7- KS₇ , 8- KS₈ , 9- KS₉ , 10- KS₁₀ , 11- KS₁₁ , 12- KS₁₂ , 13- KS₁₃ , 14- KS₁₄ , 15- Hybrid 1 and 16- Hybrid 2

جدول ۱- طول قطعات حاصل از PCR با استفاده از آغازگرهای مورد استفاده بر اساس جفت باز

Table 1. PCR fragments size (base pair) amplified by used primers

ژنوتیپ Genotype	Fragment size (bp)			طول قطعات (جفت باز) آغازگرهای E و F	
	آغازگرهای A و C		آغازگرهای D و E		
	A and B primers	C and D primers			
KS ₆	600-700		300-400	500	
KS ₇	600		300	500	
KS ₈	600		300	500	
KS ₉	600		300	500	
KS ₁₀	600		300	500	
KS ₁₁	600		300	500	
KS ₁₂	600		300	500	
KS ₁₃	600-700 and 1500-2000	300-400 and 1300		500 and 1500	
KS ₁₄	600-700 and 1500-2000	300-400 and 1300		500 and 1500	
Hybrid 1	600-700 and 1500-2000	300-400 and 1300		500 and 1500	
Hybrid 2	600-700 and 1500-2000	300-400 and 130		500 and 1500	

تکثیر شود. با توجه به نتایج این جفت آغازگر چنین پیش‌بینی می‌شود که در ژنوتیپ‌های KS₁₃ و KS₁₂، KS₁₀، KS₉، KS₈، KS₇، KS₆ آلل S₂ وجود نداشته و احتمالاً آلل ناسازگاری این ژنوتیپ‌ها S₁ یا S₃ تا S₇ باشد. یکی از آلل‌های ناسازگاری ژنوتیپ‌های KS₁₄، KS₁₃، هیبرید ۱ و هیبرید ۲، S₂ و آلل دیگر آن‌ها یکی از آلل‌های S₁ یا S₃ تا S₇ است (شکل ۱ و جدول ۲).

با توجه به مطالعات کاستیلو و همکاران (Castillo *et al.*, 2002) پیش‌بینی می‌شد که جفت آغازگر دوم بتواند آلل‌های S₁ تا S₈ خود ناسازگاری را تکثیر کند و قطعاتی با اندازه‌های ۳۵۰-۳۷۰ جفت باز مربوط به S₁

هر کدام دو قطعه یکی بین ۴۰۰-۵۰۰ جفت باز و قطعه دیگر با اندازه ۱۵۰۰ جفت باز تکثیر شد (شکل ۳ و جدول ۱).

به طور کلی آغازگرهای مورد استفاده در آزمایش توانستند آلل‌های مورد نظر را تکثیر کنند. نتایج نشان داد که در اکثر موارد آلل ناسازگاری بین آن‌ها وجود دارد و طول قطعات حاصل در جدول ۱ آمده است.

دراستفاده از جفت آغازگر اول برای بررسی آلل‌های ناسازگاری، انتظار می‌رفت بر اساس نتایج کیم و همکاران (Kim *et al.*, 2002) قطعه‌ای با طول ۶۲۹ جفت باز مربوط به آلل S₁، ۱۶۰۰ جفت باز مربوط به آلل S₂ و قطعه‌ای بین ۶۱۲-۶۳۸ جفت باز مربوط به آلل‌های S₇ تا S₃



شکل ۳- الگوی نواری آلل های ناسازگاری ژنوتیپ های گلابی آسیایی مورد مطالعه با استفاده از جفت آغازگر E و F

M1- نشانگر وزن مولکولی نسبتاً سنگین، M2- نشانگر وزن مولکولی نسبتاً سبک، B- کنترل منفی، 6- KS₆ ، 7- KS₇ ، 8- KS₈ ، 9- KS₉ ، 10- KS₁₀ ، 11- KS₁₁ ، 12- KS₁₂ ، 13- KS₁₃ ، 14- KS₁₄ ، 15- هibrid ۱ و ۱۶- هibrid ۲

Fig. 3. Incompatibility alleles banding pattern of studied Asian pear cultivars using E and F primer pair

M1- High range molecular marker, M2- Low range molecular markers, B-Negative control, 6- KS₆ , 7- KS₇ , 8- KS₈ , 9- KS₉ , 10- KS₁₀ , 11- KS₁₁ , 12- KS₁₂ , 13- KS₁₃ , 14- KS₁₄ , 15- Hybrid 1 and 16-Hybrid 2

جدول ۲- پیش بینی آلل های ناسازگاری در ژنوتیپ های گلابی آسیایی مورد مطالعه با استفاده از نتایج حاصل از آغازگر A و B

Table 2. Prediction of Asian pear cultivars incompatibility S alleles by using the results of A and B primers

ژنوتیپ	S ₁	S ₂	S ₃	S ₄	S ₅	S ₆	S ₇	Incompatibility genotype
Genotype								
KS ₆	+	-	+	+	+	+	+	S _? S _?
KS ₇	+	-	+	+	+	+	+	S _? S _?
KS ₈	+	-	+	+	+	+	+	S _? S _?
KS ₉	+	-	+	+	+	+	+	S _? S _?
KS ₁₀	+	-	+	+	+	+	+	S _? S _?
KS ₁₁	+	-	+	+	+	+	+	S _? S _?
KS ₁₂	+	-	+	+	+	+	+	S _? S _?
KS ₁₃	+	++	+	+	+	+	+	S ₂ S _?
KS ₁₄	+	++	+	+	+	+	+	S ₂ S _?
Hybrid 1	+	++	+	+	+	+	+	S ₂ S _?
Hybrid 2	+	++	+	+	+	+	+	S ₂ S _?

+: احتمالاً این آلل وجود دارد؛ ++: این آلل وجود دارد؛ -: این آلل وجود ندارد؛ ?: نوع آلل مشخص نشده است.

+: Probably this allele exists; ++: This allele exists; -: This allele dose not exist; ?: The allele was not determined

نداشت و پیش‌بینی می‌شود احتمالاً آلل ناسازگاری این ژنوتیپ‌های S_1 یا S_3 تا S_7 باشد (شکل ۲ و جدول ۳).

از آغازگر E و F برای شناسایی آلل S_8 و تایید نتایج جفت آغازگر دوم استفاده شد. در این آزمایش انتظار می‌رفت در صورت وجود آلل S_8 قطعه با طول ۵۶۵ جفت باز و در صورت وجود آلل‌های S_1 ، S_3 تا S_7 قطعه با طول ۴۹۶ جفت باز تولید شود. با توجه به این که در این آزمایش قطعه با طول ۵۶۵ جفت باز تولید نشد (شکل ۳) بنابراین آلل S_8 در ارقام مورد مطالعه وجود نداشت و نتایج این آزمایش با نتایج جفت آغازگر دوم مطابقت داشت که در آنجا هم قطعه با طول ۴۳۶ جفت باز که نشان‌دهنده آلل S_8 بود مشاهده نشد.

۱۳۰۰ جفت باز مربوط به S_2 ، ۳۷۰-۳۵۰ جفت باز مربوط به S_3 تا S_7 و ۴۳۶ جفت باز مربوط به S_8 به دست آید. نتایج به دست آمده از آغازگر C و D با نتایج جفت آغازگر اول مطابقت داشت. بر اساس نتایج حاصل از جفت آغازگر دوم چنین پیش‌بینی می‌شود که یکی از آلل‌های ناسازگاری ژمنوپهای KS_{14} ، KS_{13} ، هیبرید ۱ و هیبرید ۲، S_2 بوده و آلل دیگر آن‌ها یکی از آلل‌های S_1 یا S_3 تا S_7 باشد. نتایج نشان داد که در هیچ یک از ارقام مورد مطالعه آلل S_8 وجود نداشت، زیرا طول قطعه مورد انتظار برای این آلل ۴۳۶ جفت باز بود که در هیچ کدام از ارقام مورد مطالعه مشاهده نشد (شکل ۲). در ژنوتیپ‌های KS_8 ، KS_7 ، KS_6 ، KS_{12} و آلل S_2 وجود KS_{11} ، KS_{10} ، KS_9 و KS_{13} وجود

جدول ۳- پیش‌بینی آلل‌های ناسازگاری در ژنوتیپ‌های گلابی آسیایی مورد مطالعه با استفاده از نتایج حاصل از آغازگر C و D

Table 3. The prediction of Asian pear incompatibility S alleles by using the results of C and D primers

ژنوتیپ Genotype	S_1	S_2	S_3	S_4	S_5	S_6	S_7	ژنوتیپ ناسازگاری احتمالی Incompatibility genotype
KS_6	+	-	+	+	+	+	-	$S_2S_?$
KS_7	+	-	+	+	+	+	-	$S_2S_?$
KS_8	+	-	+	+	+	+	-	$S_2S_?$
KS_9	+	-	+	+	+	+	-	$S_2S_?$
KS_{10}	+	-	+	+	+	+	-	$S_2S_?$
KS_{11}	+	-	+	+	+	+	-	$S_2S_?$
KS_{12}	+	-	+	+	+	+	-	$S_2S_?$
KS_{13}	+	++	+	+	+	+	-	$S_2S_?$
KS_{14}	+	++	+	+	+	+	-	$S_2S_?$
Hybrid 1	+	++	+	+	+	+	-	$S_2S_?$
Hybrid 2	+	++	+	+	+	+	-	$S_2S_?$

+: احتمالاً این آلل وجود دارد؛ ++: این آلل وجود دارد؛ -: این آلل وجود ندارد؛ ?: نوع آلل مشخص نشده است.

+: Probably this allele exists; ++: This allele exists; -: This allele dose not exist; ?: The allele was not determined

۵۰ درصد دانه‌های گرده از نظر ژنتیکی قابلیت جوانه‌زن خواهد داشت.

روش PCR برای تعیین ناسازگاری سریع تر و راحت‌تر از سایر روش‌ها است و تحت تاثیر عوامل مرتبط با گردهافشانی از قبیل شرایط آب و هوايی و بکرازيی قرار نمی‌گيرد و علاوه بر آن به گياه بالغ برای انجام مطالعات نيازی نیست (Tamura *et al.*, 2000; Kim *et al.*, 2002; Ishimizu *et al.*, 1999) سازگاري و عدم سازگاري بين ژنوتيپ‌ها از اهميت ويرژه‌های برخوردار است و با تعیين دقیق آلل‌های ناسازگاري در برنامه‌های اصلاحی می‌توان از آن‌ها استفاده کرد و مشکلات موجود بر سر راه تشکيل میوه را برداشت و در صورت احداث باغ‌های جديد از خسارت احتمالي وارده جلوگيري کرد. لازم است مطالعات در اين زمينه برای تعیين تطابق گلدهي ارقام و مشخص نمودن دوره گردهافشانی موثر ادامه پيدا کند.

سپاسگزاری

مواد گياهي مورد استفاده در اين پژوهش از طرح ملي به شماره ۴۲۲۵ (شوراي پژوهش‌های علمي کشور) و همچنین طرح ملي به شماره ۸۴۰۰۶ (صندوقي حمایت از پژوهشگران کشور) تحت عنوان مطالعه سازگاري چند رقم گلابی آسيايی با شرایط آب و هوايی ايران: فاز ۲ بررسی سازگاري در چند نقطه آب و هوايی کشور که در دانشگاه تربیت مدرس در حال

در حال حاضر تعداد ارقام خودناسازگار و دگرناسازگار گزارش شده در چندين گونه درخت ميوه رو به افزایش است که به نظر مى‌رسد به دليل محدود بودن پايه ژنتيکي در ژنوتيپ‌های تجاری جديد استفاده تعداد محدودی لاین‌های مادری در برنامه اصلاح درختان ميوه باشد (Kester *et al.*, 1994; Egea and Burgas, 1996). نتایج اين آزمایش هم نشان داد که تشابه آلل‌های ناسازگاري در ژنوتيپ‌ها وجود دارد و بهتر است در تلاقی‌های جديد به اين مسئله توجه شود. پيش‌بینی کاشت درختان گرده‌دهنده در باغ يكی از نيازهای اساسی برای به دست آوردن محصول اقتصادي در مورد ييستر ارقام است، بنابراین درخت گرده‌دهنده باید با ارقام تجاری کاشته شده سازگار باشد و اجزاء آلل‌های ناسازگاري هر دو رقم باید حداقل در مورد يكی از آلل‌ها مختلف باشد (Sanzol and Herrero, 2002). با توجه به نتایج اين آزمایش، ژنوتيپ‌ها KS₁₄, KS₁₃ و هيبريدهای ۱ و ۲ به طور قطع دارای آلل مشترک S₂ هستند و در صورت دگر گردهافشانی اين ژنوتيپ‌ها با هميگر، ۵۰ درصد دانه‌های گرده جوانه خواهد زد. ژنوتيپ‌ها KS₁₀, KS₈, KS₉, KS₇, KS₆ و KS₁₂ دارای حداقل يك آلل متفاوت با ژنوتيپ‌ها KS₁₄, KS₁₃ و هيبريدهای ۱ و ۲ هستند، بنابراین در صورت داشتن تطابق زمان گلدهي (Nyeki, 1996)، گرده‌زاي خوبی برای هميگر خواهد بود و حداقل

علوم باگبانی دانشگاه تربیت مدرس
تشکر می‌شود.
اجراست تامین شده است که بدین وسیله تشکر
می‌گردد. همچنین از مساعدت و حمایت گروه

References

- Arzani, K. 2002.** The position of pear breeding and culture in Iran: Introduction of some Asian pear (*Pyrus serotina* Rehd.) cultivars. *Acta Horticulturae* 587: 167-173.
- Burgos, L., Perez-Tornero, O., Ballester, J., and Olmos, E. 1998.** Detection and inheritance of stylar ribonucleases associated with incompatibility alleles in apricot. *Sex Plant Reproduction*. 11: 153–158.
- Castillo, C., Nakanishi, T., Ishimizu, T., Takasaki, T., Norioka, S., and Saito, T. 2002.** S-RNase based PCR-RFLP system for S-genotype assignment in Japanese pear. *Acta Horticulturae* 587: 449-458
- De Nettancourt, D. 1997.** Incompatibility in angiosperms. *Sex Plant Reproduction* 10: 185–199
- Doyle, J. J., and Doyle, J.L. 1990.** Isolation of plant DNA from fresh tissues. *Focus* 12: 13-15.
- Egea, J., and Burgos, L. 1996.** Detecting cross-incompatibility of three North American apricot cultivars and establishing the first incompatibility group in apricot. *Journal of American Society of Horticultural Science* 121: 1002-1005.
- Haring V. H., Gray, J. E., McClure, B. A., Anderson, M. A., and Clarke, A. E. 1990.** Self-incompatibility: a self-recognition system in plants. *Science* 250: 937–971
- Hiratsuka, S., and Zhang, S. L. 2002.** Cultivar differences in the expression of self incompatibility in Japanese pears. *Acta Horticulturae* 587: 437-448.
- Ishimizu T., Inoue, K., Shimonaka, M., Saito, T., Terai, O., and Norioka, S. 1999.** PCR-based method for identifying the S-genotypes of Japanese pear cultivars. *Theoretical and Applied Genetics* 98: 961–967.
- Janssens, G. A., Goderis, I. J., Broekaert, W. F., and Broothaerts, W. 1995.** A molecular method for S-allele identification in apple based on allele-specific PCR. *Theoretical and Applied Genetics* 91: 691–698.
- Kester, D. E., Gradziel, T. M., and Micke, W. C. 1994.** Identifying pollen

- incompatibility groups in California almond cultivars. Journal of American Society of Horticultural Science 119: 106-109.
- Kim, H. T., Kim, H. J., Nou, I. S., Hirata, Y., and Kang, K. K. 2002.** Identification of self incompatibility alleles by S-RNase sequencing and PCR-RFLP analysis in Korean-bred pear (*Pyrus pyrifolia*) Strains. Acta Horticulturae 587: 467-476.
- Koushesh-Saba, M., Arzani, K. and Jalali-Javaran, M. 2006.** A study on flowering, pollination, self and cross incompatibility of some Asian pear (*Pyrus serotina* Rehd.) cultivars. Iranian Journal of Agricultural Science 37: 755-763 (in Farsi).
- Nee, C. C., Tsai, C. H., and Anstine, D. D. 2002.** Asian pear cultivars-Future trend and current research in the industry. Acta Horticulturae 587: 61-69
- Nyeki, J. 1996.** Fertilization conditions. pp. 185-265. In: Nyeki, J., and Soltesz, M. (eds.) *Floral Biology of Temperate Zone Fruits Trees and Small Fruit*. Akademiai Kiado Publications.
- Sanzol, J. and Herrero, M. 2002.** Identification of self-incompatibility alleles in pear cultivars (*Pyrus communis* L.). Euphytica 128: 325–331.
- Sassa, H., Mase, W., Hirano, H. and Ikehashi, H. 1994.** Identification of self incompatibility related glycoproteins in styles of apple (*Malus domestica*). Theoretical and Applied Genetics 89: 201-205.
- Tamura, M., Ushijima, K., Sassa, H., Hirano, H., Tao, R., Gradziel, T. M., and Dandekar, A. M. 2000.** Identification of self-incompatibility genotypes of almond by allele specific PCR analysis. Theoretical and Applied Genetics 101: 344–349.
- Tehrani, G., and Lay, J. W. 1988.** Verification of pedigrees of different sweet cherry cultivars introduced from Vineland through pollen compatibility studies. HortScience 23: 783-788.
- Tomimoto, Y., Nakazaki, T., Ikehashi, H., Ueno, H., and Hayashi, R. 1996.** Analysis of self-incompatibility-related ribonucleases (SRNases) in two species of pears (*Pyrus communis*) and *Pyrus ussuriensis*. Scientia Horticulturae 66: 159–167.
- Wiersma, P. A., Wu, Z., Zhou, L., Hampson, C., and Kappel, F. 2001.**

Identification of new self-incompatibility alleles in sweet cherry (*Prunus avium* L.) and clarification of incompatibility groups by PCR and sequencing analysis. *Theoretical and Applied Genetics* 102: 700–708.

Zuccherelli, S., Broothaerts, W., Tassinari, P., Tartarini, S., Dondini, L., Bester, A., and Sansavini, S. 2002. S-allele characterization in self-incompatible pear (*Pyrus communis*): Biochemical, molecular and field analyses. *Acta Horticulturae* 596: 147-152.